

## کاربردهای سنگزایی شیمی کانی دیوپسیدیت‌های گوشته در بخش شرقی افیولیت سبزوار (شمال شرقی ایران مرکزی)

فاطمه رحمانی<sup>\*</sup>، موسی نقره‌ئیان<sup>\*</sup>، محمدعلی مکی‌زاده

گروه زمین‌شناسی، دانشکده علوم، دانشگاه اصفهان

(دریافت مقاله: ۹۶/۴/۱۴، نسخه نهایی: ۹۶/۹/۱۴)

**چکیده:** در بخش شرقی افیولیت سبزوار در جنوب شرقی سلیمانیه، رگهایی از دیوپسیدیت با رنگ سفید تا سبز کمرنگ و پهنانی حدود ۱ تا ۱۵ سانتی متر درون هارزبورزیت‌های سرپانتینی شده گوشته وجود دارد. مرکز رگهای اغلب همگن‌تر است، بافت گرانوبلاستیک دارد و بیشتر شامل کلینوپیروکسن است. مرز بین کلینوپیروکسن خالص و پریدوتیت میزان معمولاً تدریجی است و بوسیله بافت‌ها و کانی‌های جایگزین مشخص می‌شود. هارزبورزیت میزان نیز تاحدی دستخوش فرایند دیوپسیدی شدن شده است و لکه‌هایی از درشت بلورهای پلازیوکلاز دگرسان شده و کلینوپیروکسن با میانبارهای سرپانتین در سنگ میزان دیده می‌شود. مجموعه کانی‌ها، روابط صحرابی و ترکیب شیمیایی کانی‌های دیوپسیدیت‌های گوشته در بخش شرقی افیولیت سبزوار نشان می‌دهد که آن‌ها برآمده از گردش سیال‌های گرمابی دما بالای (۵۵۰-۹۰۰ درجه سانتیگراد) غنی از سیلیس، منیزیوم، کلسیم، کربنات، سولفات و کلرید در گوشته بالایی هستند. این سیال‌ها پیش از رسیدن به گوشته، سنگ‌های غنی از پلازیوکلاز (گابروهای پوسته پایینی) را شسته‌اند.

**واژه‌های کلیدی:** افیولیت؛ سبزوار؛ دیوپسیدیت؛ سنگزایی؛ ایران مرکزی.

هورنبلنیدیت) در نظر گرفته شده‌اند. بر اساس پژوهش‌های انجام شده، چرخش سیال‌های دما بالا در پوسته پایینی و گوشته بالایی باعث شسته شدن و فراهم کردن عناصر برای تشکیل دیوپسیدیت و هورنبلنیدیت در شکستگی‌ها و درزهای موجود در بالاترین بخش گوشته شده است. بررسی‌ها نشان داده است که همه کانی‌های معمول و بدون آب آذرین شامل پیروکسن، الیوین و پلازیوکلاز می‌توانند از سیال‌های دما بالا با دمای بین مذاب‌های سیلیکاتی و آب ابر بحرانی (دمای بالاتر از ۳۷۴ درجه سانتیگراد) متبلور شوند [۱۱]. افیولیت سبزوار به عنوان بخشی از باقیمانده سنگ‌کره اقیانوسی نئوتیس بزرگترین و کاملترین مجموعه افیولیتی در شمال شرق ایران است. در جنوب شرقی سلیمانیه واقع در بخش شرقی افیولیت سبزوار

**مقدمه**  
گردش سیال‌های گرمابی وابسته به آب دریا در پوسته اقیانوسی عامل اصلی تبادل گرما و تغییرات شیمیایی است [۱،۲]. بررسی‌های سنگ‌شناسی و زمین‌شیمیایی نشان داده است که این سیال‌ها تا قاعده دایک‌های صفحه‌ای و بالاترین بخش توالی سنگ‌های درونی نفوذ کرده‌اند [۳،۴]. به تازگی مقالات متعددی در رابطه با نفوذ و گردش آب دریا و دگرگونی گرمابی در پوسته پایینی و بالاترین بخش گوشته اقیانوسی منتشر شده است [۱۰-۱۵]. در این مقالات، دیوپسیدیت و هورنبلنیدیت به عنوان فراورده‌های واکنش بین سنگ‌های پوسته پایینی و گوشته بالایی با سیال‌های گرمابی دما بالا (بیش از ۸۰۰ درجه سانتیگراد برای دیوپسیدیت و ۸۵۰-۷۰۰ درجه سانتیگراد برای

\*نویسنده مسئول، تلفن: ۰۳۱۲۷۹۳۲۱۵۲، نامبر: ۰۳۱۳۷۹۳۲۱۵۳، پست الکترونیکی: moussanoghreyan@yahoo.com

استاندارد داخلی در نظر گرفته شد. در هر مرحله تجزیه، نمونه استاندارد شیشه بازالتی BIR-1G به عنوان استاندارد خارجی تجزیه شد. به جز Cs و Rb، نتایج همخوانی خوبی با مقادیر این نمونه استاندارد [۱۴] نشان می‌دهند.

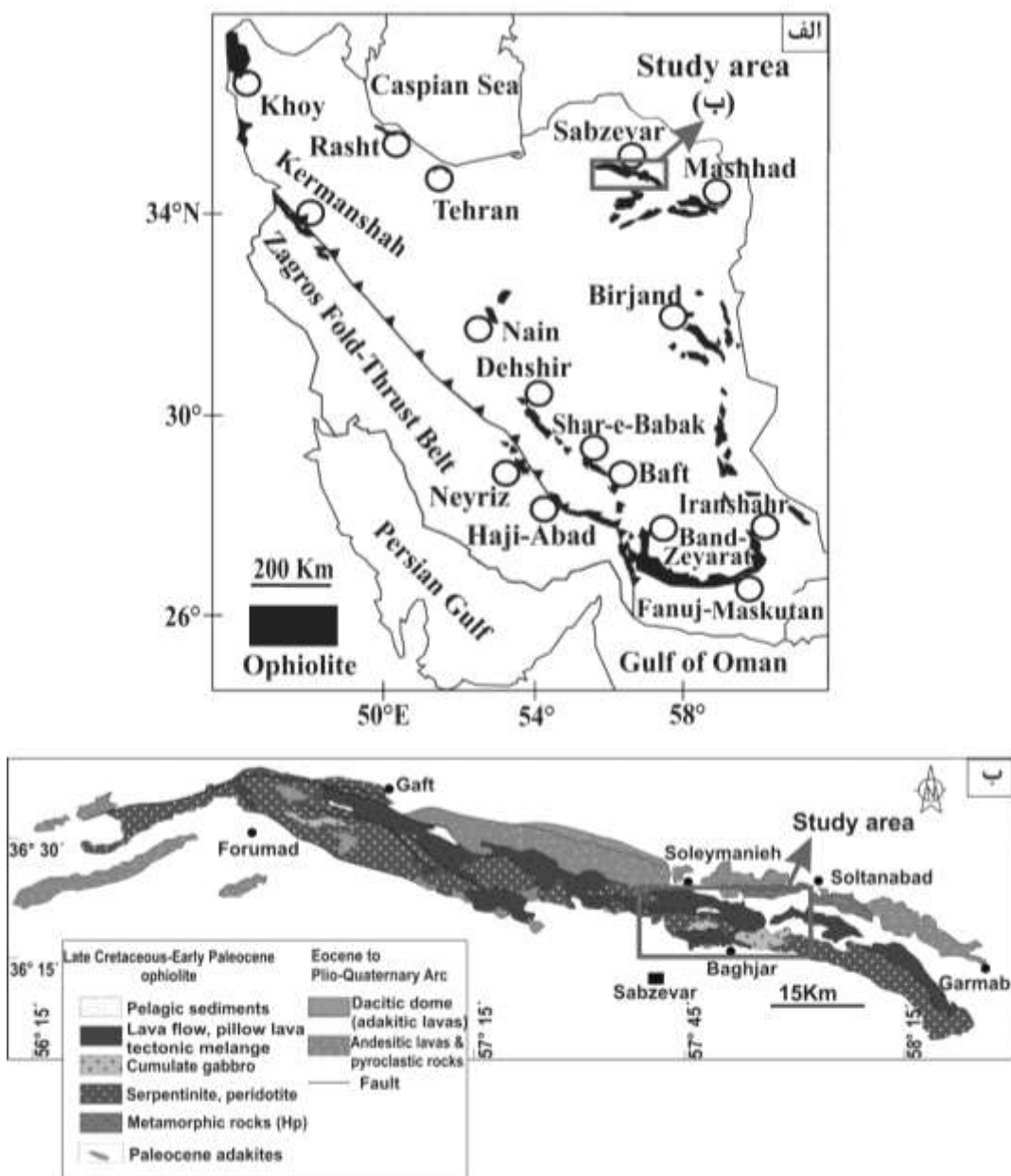
#### زمین‌شناسی عمومی منطقه

توالی افیولیتی سبزوار با روند تقریبی شرقی-غربی به طول ۱۵۰ و عرض ۱۰-۳۰ کیلومتر در شمال شرق ایران در شمال شهر سبزوار قرار دارد (شکل ۱ الف). بر اساس بررسی‌های انجام شده، شش مجموعه افیولیتی مربوط به زمان مژوزوئیک در شمال شرق ایران وجود دارد که افیولیت سبزوار بزرگترین و کامل‌ترین مجموعه افیولیتی منطقه است [۱۵]. این مجموعه‌های افیولیتی ویژگی‌های زمین‌ساختی مشابه دارند و مرز بین خرد قاره شرق-ایران مرکزی و صفحه توران (پهنه کپه داغ) را مشخص می‌کنند [۱۵-۱۸]. افیولیت سبزوار مشخص کننده بخشی از شاخه شمالی اقیانوس نوتیس (اقیانوس سبزوار) و جزئی از حلقه آمیزه افیولیتی اطراف خرد قاره شرق-ایران مرکزی است. بررسی‌های زمین‌گاه‌شناسی اخیر نشان می‌دهد که چنین حوضه‌های اقیانوسی در دو دوره عمده طی ژوراسیک پسین-کرتاسه پیشین و کرتاسه پسین تشکیل شده‌اند و بسته شدن این حوضه‌های اقیانوسی طی مژوزوئیک تا پائیون همراه با برخورد صفحه عربی با اوراسیا رخ داده است [۱۹-۲۸]. اگرچه توالی افیولیتی سبزوار مانند بیشتر مجموعه‌های افیولیتی ایران به صورت درهم ریخته است ولی شامل همه سنگ‌هایی است که مشخص کننده یک واحد افیولیتی کامل است (شکل ۱ ب). سنگ‌های گوشتی‌ای این توالی بیشتر شامل هارزبورزیت و کمی دونیت و لرزولیت است. این سنگ‌ها گسترش زیادی دارند و بخش اصلی این توالی افیولیتی را تشکیل می‌دهند. عدسی‌های بزرگی از کرومیت در دونیت‌ها به‌ویژه در بخش غربی این توالی افیولیتی دیده می‌شود. در بعضی مناطق دایک‌های دیابازی، میکروگالرویی، پگماتوئیدی و آمفیولیتی این پریدوتیت‌ها را قطع کرده‌اند که به‌طور جزئی به رودنژیت تبدیل شده‌اند. رگه‌هایی از پیروکسنیت نیز این پریدوتیت‌ها را قطع می‌کنند.

رگه‌هایی از دیوپسیدیت درون هارزبورزیت‌های گوشتی دیده می‌شود. رگه‌های دیوپسیدیت احتمالاً نشان‌دهنده مسیر گردش سیال‌های گرمابی دما بالا هستند و با بررسی آن‌ها می‌توان ویژگی‌های فیزیکی و شیمیایی سیال‌های گرمابی وابسته را مشخص کرد. در این پژوهش، سنگ‌میزان را شرح می‌دهیم و رگه‌های گردش سیال‌های گرمابی دما بالا و دگرگونی گرمابی ناشی از آن را در بالاترین بخش گوشتی اقیانوسی و پوسته پایینی بررسی می‌کنیم.

#### روش بررسی

پس از بازدیدهای صحرایی و نمونه‌برداری، به منظور بررسی-های سنگ‌نگاری و کانی‌شناسی، از نمونه‌های دیوپسیدیت، هارزبورزیت‌های میزان و گابروهای منطقه مقاطع نازک تهیه شد. سپس جهت تعیین ترکیب شیمیایی کانی‌ها و محاسبه فرمول ساختاری آن‌ها از نمونه‌های مناسب مقاطع نازک صیقلی تهیه گردید و تجزیه نقطه‌ای کانی‌ها توسط دستگاه ریزپردازندۀ الکترونی JEOL مدل SX-100 با ولتاژ شتاب ۲۰ kV، جریان ۲۰ nA و زمان شمارش ۱۵-۲۰ ثانیه در دهنده ۲۰-۱۵ ثانیه در مرکز تحقیقات فرآوری مواد معدنی ایران انجام شد. با این روش، ترکیب عناصر اصلی و فرعی کانی‌ها مشخص شد. داده‌های خام با برنامه ZAF تصحیح شدند. در محاسبه  $\text{Fe}^{2+}$  و  $\text{Fe}^{3+}$  برای به دست آوردن فرمول ساختاری کانی‌ها از روش ارائه شده توسط دروپ [۱۲] استفاده شد. مخفف‌های به کار برده شده برای نام کانی‌ها برگرفته از مرجع [۱۳] است. برای اندازه‌گیری عناصر خاکی نادر و کمیاب کلینوپیروکسن و پلازیوکلاز موجود در دیوپسیدیت‌ها و هارزبورزیت‌ها میزان تجزیه فرساینده لیزی-طیف سنجی جرمی-گسیل پلاسمای جفت شده القایی (LA-ICP-MS) بر این کانی‌ها انجام شد. این تجزیه توسط دستگاه لیزر Excimer، 193 nm به همراه Agilent طیفسنج جرمی پلاسمای جفت شده القایی مدل QQQ 8800 در انجمن علوم زمین آنالوژیا (دانشگاه گرادانا-اسپانیا) انجام گرفت. قطر نقطه تجزیه در حدود ۸۵ میکرومتر بوده است. برای واسنجی همه نمونه‌ها، مقدار  $^{79}\text{Si}$  به عنوان



شکل ۱ (الف) جایگاه افیولیت سبزوار بر نقشه پراکندگی افیولیت‌های مزوژوئیک در ایران، برگرفته از مرجع [۲۷] با اندکی تغییرات. (ب) نقشه زمین‌شناسی ساده از نوار افیولیتی شمال سبزوار بر اساس نقشه‌های زمین‌شناسی ۱/۱۰۰۰۰۰ سبزوار [۲۹] و فرودم [۳۰]، برگرفته از مرجع [۲۸] با اندکی تغییرات.

شمالی توالی بیرون‌زدگی دارند و به صورت بالشی و توده‌ای دیده می‌شوند. سنگ‌های رسوبی افیولیت سبزوار نیز شامل آهک‌های فسیل‌دار لجه‌ای و چرت‌های رادیولاریت است که همراه با سنگ‌های آتشفسانی به صورت بین‌لایه‌ای بخش آتشفسانی-رسوبی توالی را می‌سازند. همچنین در مجموعه افیولیتی سبزوار توده‌هایی از سنگ‌های دگرگونی شامل شیست سبز، میکا شیست، شیست آبی، آمفیبولیت، گرانولیت و مرمر وجود دارد که بیشتر در بخش مرکزی و شرقی توالی واقع

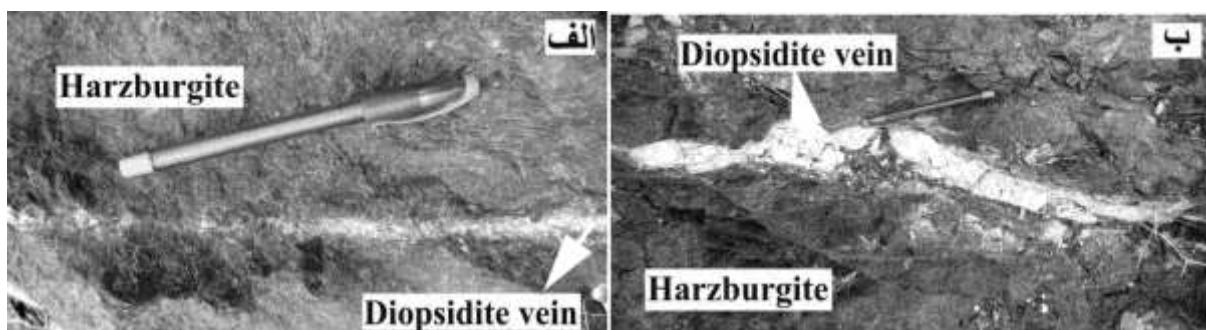
بریدوتیت‌های گوشه‌ای تا حد زیادی به سرپانتینیت تبدیل شده‌اند و بررسی‌های صحرایی نشان می‌دهد که سایر سنگ‌های افیولیت سبزوار درون این بریدوتیت‌های سرپانتینی شده شناور هستند. بخش پوسته‌ای این توالی افیولیتی شامل بریدوتیت‌های انباشت‌سنگ، گابروی لایه‌ای، گابروی همسانگرد، دایک‌های دلریتی-میکروگابرویی، پلاژیوگرانیت، دایک‌های صفحه‌ای، سنگ‌های آتشفسانی، آتشفسانی-رسوبی و رسوبی است. سنگ‌های آتشفسانی افیولیت سبزوار بیشتر در بخش

انتقال از چند میلی‌متر تا چند سانتی‌متر تغییر می‌کند. رگه‌ها بافت‌هایی مشابه اسکارن‌ها در حاله‌های دگرگونی مجاورتی و یا رودنژیت‌های موجود در توده‌های سرپانتینی شده دارند. مرکز رگه‌ها گرانوبلاستیک نشان می‌دهد و بیشتر شامل کلینوپیروکسن است که توسط رگه‌های کربنات قطع شده است (شکل‌های ۳ الف و ب). مرز بین کلینوپیروکسن خالص و پریدوتیت میزبان معمولاً تدریجی است و بوسیله بافت‌ها و کانی‌های جایگزین مشخص می‌شود. این مرز یک منطقه کم و بیش گسترش یافته شامل ریزلولورهایی از الیوین، کلینوپیروکسن، سرپانتین، کلریت، کربنات و ترمولیت با بافت الیافی و تنش آواری است (شکل‌های ۳ پ و ت). در بعضی موارد یک دیواره غنی از پلازبیولاز در کناره رگه‌ها دیده می‌شود و پلازبیولازها بیشتر به هیدروگراسولار تبدیل شده‌اند. این مشابه رودنژیتی شدن دیوپسیدیت‌ها و تشکیل رودنژیت‌های نوع ۲ در افیولیت عمان است [۶]. درجه رودنژیتی شدن از کناره رگه به سمت مرکز کاهش می‌یابد، به‌طوری که در محل تماس با هارزبورژیت میزبان هیچ پلازبیولازی دیده نمی‌شود و کاملاً به هیدروگراسولار تبدیل شده است (شکل ۳ ب). به نظر می‌رسد که کلینوپیروکسن طی فرایند رودنژیتی شدن پایدارتر است و به صورت دانه‌های کوچک در بین هیدروگراسولارها پراکنده است. هارزبورژیت میزبان بر اساس جایگاه و نزدیکی به رگه‌ها درجات متفاوتی از دگرسانی را نشان می‌دهد، به‌طوری که در نزدیکی رگه‌ها سرپانتینی شدن شدیدتر است. افزون بر این، لکه‌هایی از درشت بلورهای پلازبیولاز دگرسان شده و کلینوپیروکسن با میانبارهای سرپانتین در سنگ میزبان دیده می‌شود (شکل‌های ۴ الف-ت). در این پژوهش، این پریدوتیتها در مقایسه با هارزبورژیت‌های معمول تهی شده گوشته به عنوان هارزبورژیت غنی شده رده‌بندی شده است. این واحدها همچنین بوسیله رگه‌هایی از گابرونوریت پگماتوئیدی قطع شده‌اند.

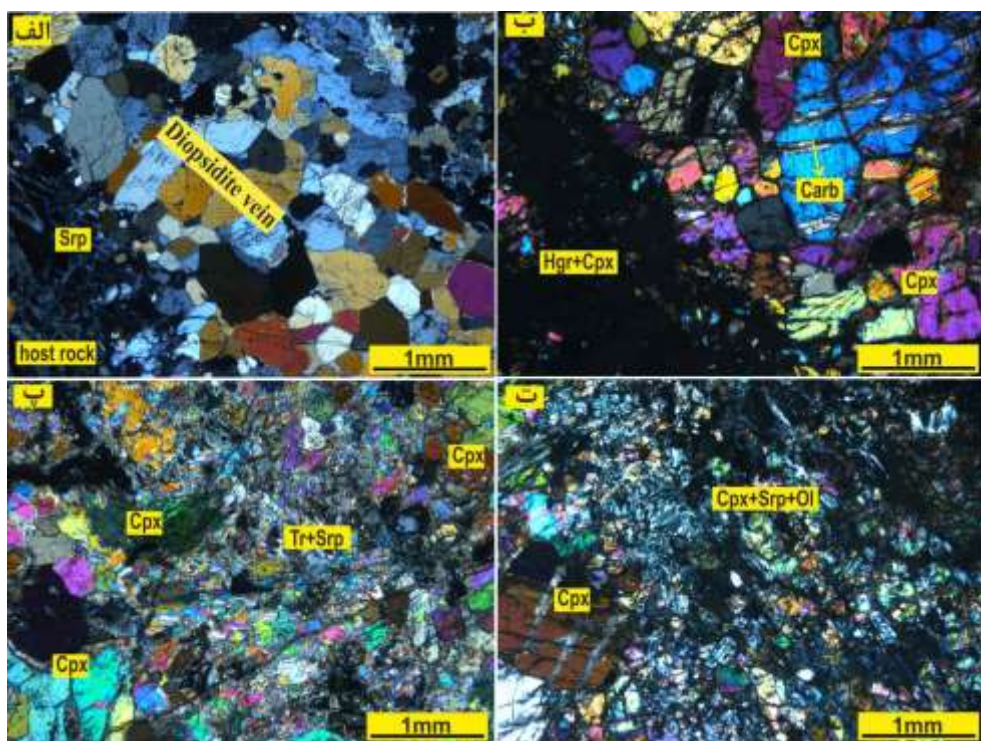
شده‌اند. پس از اینکه مشخص گردید که افیولیت‌ها قطعاتی از سنگ کره اقیانوسی هستند، علاقه به بررسی آن‌ها بسیار افزایش یافت. در واقع افیولیت‌ها مجموعه‌هایی هستند که با قسمت‌های عمیق پوسته اقیانوسی و گوشته بالایی منطبق بوده و به‌طور معمول غیر قابل دسترس هستند و می‌توان از آن‌ها اطلاعاتی در مورد سطوح اقیانوسی غیر قابل دسترس بدست آورد. در سال‌های اخیر، سنگ‌های فرامافیک گوشته‌ای موجود در مجموعه‌های افیولیتی موضوع بسیاری از پژوهش‌های مهم بوده‌اند. بررسی ویژگی‌های سنگ‌شناختی، کانی‌شناختی و زمین‌شیمیایی این سنگ‌ها اطلاعاتی را در رابطه با فرایندهای ذوب بخشی، درجه ذوب‌بخشی و تهی‌شدگی گوشته و همچنین واکنش‌های سنگ با مذاب و یا سیال‌ها، فعالیت دگرنهادی گوشته، ناهمنگی گوشته و محیط زمین‌ساختی اصلی (پهنه‌های فرافرورانش یا پشههای میان اقیانوسی) که مجموعه افیولیتی در آن تشکیل شده است فراهم می‌کنند که می‌تواند در درک بیشتر چگونگی تکوین و تکامل چنین مجموعه‌هایی مورد استفاده قرار گیرد. در این پژوهش ما با بررسی ویژگی‌های سنگ‌نگاری و شیمی کانی رگه‌های دیوپسیدیت و هارزبورژیت میزبان، بخشی از عملکرد گردش سیال‌های گرمابی دما بالا و فعالیت دگرنهادی برآمده از آن را در گوشته بالایی بیان می‌کنیم.

#### روابط صحراوی و سنگ نگاری

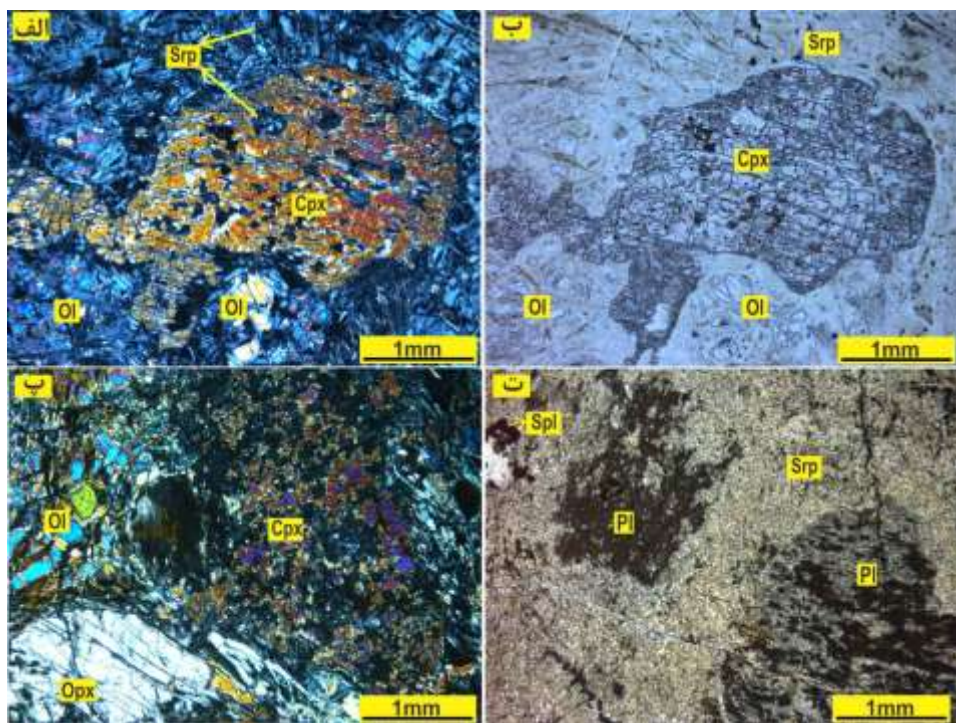
در جنوب شرقی سلیمانیه واقع در بخش شرقی افیولیت سبزوار (شکل ۱ ب) رگه‌هایی از دیوپسیدیت با رنگ سفید تا سبز کمرنگ با پهنه‌ای حدود ۱۵-۱ سانتی‌متر در هارزبورژیت‌های سرپانتینی شده گوشته وجود دارد (شکل ۳). بررسی‌های صحراوی نشان می‌دهد که این رگه‌ها، شبکه‌ای از درزهای پیشین هستند که توسط فراورده‌های تبلور، برآمده از گردش مذاب یا سیال در این شکستگی‌ها، پر شده‌اند. مرز این رگه‌ها با سنگ میزبان واضح تا کمی تدریجی است و پهنه‌ای منطقه



شکل ۲ تصاویر صحراوی از رگه‌های دیوپسیدیت درون هارزبورژیت سرپانتینی شده در جنوب شرقی سلیمانیه.



شکل ۳ تصاویر میکروسکوپی از رگه‌های دیوپسیدیت: (الف) بافت گرانوبلاستیک کانی‌های کلینوپیروکسن در مرکز رگه. (ب) بافت گرانوبلاستیک در مرکز رگه و دیواره غنی از پلازیوکلاز که به هیدروگراسولار تبدیل شده است. (پ و ت): بافت تنفس آواری و الیافی در کناره رگه. علائم اختصاری کانی‌ها بر اساس مرجع [۱۳] است.



شکل ۴ تصاویر میکروسکوپی از هارزبورژیت رگه‌های دیوپسیدیت (هارزبورژیت غنی‌شده) (الف-پ) لکه‌های کلینوپیروکسن درشت‌بلور با میانبارهای سرپانتین در هارزبورژیت میزبان (تصویر ب در نور PPL تهیه شده است). (ت) لکه‌های پلازیوکلاز دگرسان شده در هارزبورژیت میزبان در نور PPI. علائم اختصاری کانی‌ها بر اساس مرجع [۱۳] است.

است (جدول‌های ۱ و ۳). با وجود این، کلینوپیروکسن موجود ( $\text{Wo}_{44.90-46.57}$   $\text{En}_{49.04-49.98}$ ) در همه نمونه‌ها از نوع دیوپسید ( $\text{Mg\#} = 100 * \text{Mg/Mg}$ ) است. عدد منیزیوم آن‌ها ( $\text{Fs}_{3.40-4.83}$ ) +  $\text{Fe}^{2+}$  بسیار بالا (۹۷/۹۵-۸۷/۷۶) است، در حالی که مقدار آلومینیوم، سدیم، تیتان و کروم آن‌ها بسیار پایین است.

**شیمی کانی**  
عناصر اصلی: داده‌های حاصل از تجزیه ریزپردازشی و LA-ICP-MS دیوپسیدیت‌ها نشان می‌دهد که ترکیب کلینوپیروکسن در نمونه‌های مختلف و حتی کلینوپیروکسن‌های در یک مقطع میکروسکوپی بسیار متغیر

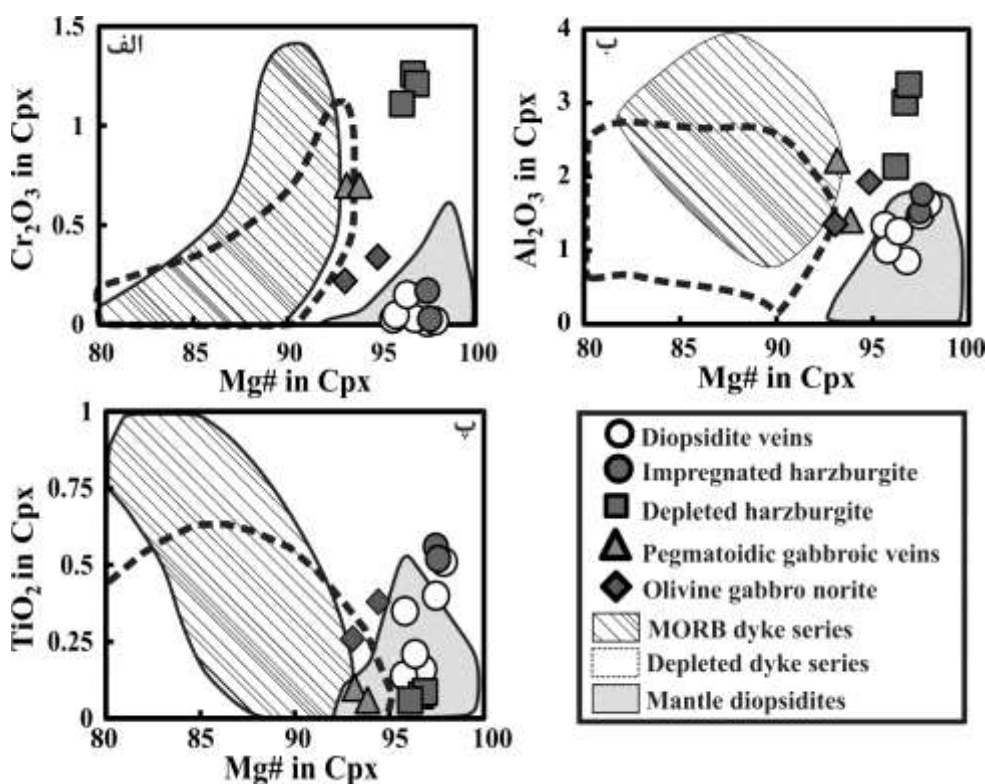
**جدول ۱** نتایج تجزیه ریزپردازشی کلینوپیروکسن (Cpx) و آمفیبول (Amp) در سنگ‌های مورد بررسی و محاسبه اعضای پایانی و فرمول ساختاری آن‌ها به ترتیب بر پایه ۶ و ۲۳ اتم اکسیژن. IHz: دیوپسیدیت، Di: هارزبورژیت غنی‌شده، Pg-vein: رگه گابرونوریت پگماتوئیدی و Ol-Ga-Nr: الیوین گابرونوریت.

سنگ‌شناسی	Di	Di	Di	Di	Di	Di	IHz	IHz	DHz	DHz	DHz	Pg-vein	Pg-vein	Ol-Ga-Nr	Ol-Ga-Nr	Di	Di
<b>کانی</b>	Cpx	Cpx	Cpx	Cpx	Cpx	Cpx	Cpx	Cpx	Cpx	Cpx	Cpx	Cpx	Cpx	Cpx	Cpx	Amp	Amp
<b>شماره نمونه</b>	P-7	P-7	P-7	P-7	P-7	P-7	P-7	P-7	DU2-1	DU2-1	DU2-1	P6-1	P6-1	g-75	g-75	P-7	P-7
<b>شماره نقطه</b>	1	2	3	6	7	8	13	14	26	27	28	11	12	18	19	15	16
<b>SiO<sub>2</sub> (wt.%)</b>	53/25	53/11	54/00	54/12	54/46	54/21	53/6	52/66	53/5	53/29	53/44	52/98	54/23	52/11	52/3	57/33	57/22
<b>TiO<sub>2</sub></b>	0/40	0/51	0/35	0/16	0/14	0/21	0/56	0/52	0/08	0/06	0/09	0/10	0/06	0/38	0/26	0/15	0/05
<b>Al<sub>2</sub>O<sub>3</sub></b>	1/48	1/64	1/34	0/86	1/01	1/26	1/52	1/76	3/01	3/25	2/09	2/22	1/41	1/93	1/36	1/14	1/04
<b>Cr<sub>2</sub>O<sub>3</sub></b>	0/01	0	0/01	0/03	0/03	0/15	0/17	0/01	1/26	1/21	1/11	0/7	0/7	0/34	0/22	0/05	0/08
<b>FeO</b>	3/2	3/06	3/05	2/28	2/24	2/39	3/05	3/1	1/05	1/06	1/23	2/95	2/8	6/12	5/14	2/44	2/49
<b>MnO</b>	0	0	0	0	0	0	0	0	0/07	0/11	0/06	0	0	0/16	0/14	0	0
<b>MgO</b>	18/08	18/2	18/4	18/15	18/41	18/27	18/16	18/09	17/17	17/54	17/01	17/17	17/46	17/7	16/44	23/22	23/38
<b>CaO</b>	23/24	23/22	23/11	23/85	23/6	23/53	23/51	23/06	24/5	24/31	24/88	23/04	24/31	21/8	23/57	13/62	13/49
<b>Na<sub>2</sub>O</b>	0/23	0/23	0/21	0/18	0/16	0/23	0/27	0/24	0/06	0/04	0/09	0/23	0/12	0/26	0/20	0/23	0/25
<b>K<sub>2</sub>O</b>	0/04	0	0	0	0	0	0	0	0/01	0/02	0	0	0/01	0/02	0	0	0/05
<b>مجموع</b>	99/93	99/97	100/47	99/96	100/05	100/25	100/84	99/77	100/71	100/89	100/59	99/39	100/87	99.90	99/72	98/18	98/05
<b>Si</b>	1/942	1/935	1/953	1/972	1/972	1/961	1/937	1/924	1/924	1/913	1/940	1/940	1/955	1/908	1/936	7/813	7/807
<b>Al<sup>IV</sup></b>	0/057	0/0646	0/0465	0/028	0/028	0/038	0/062	0/076	0/075	0/086	0/059	0/059	0/044	0/0832	0/0593	0/183	0/167
<b>Al<sup>VI</sup></b>	0/0058	0/005	0/010	0/009	0/015	0/015	0/002	0/001	0/0523	0/051	0/030	0/036	0/015	0	0	0	0
<b>Fe<sup>3+</sup></b>	0/071	0/071	0/046	0/036	0/024	0/035	0/066	0/070	0	0/001	0	0/021	0/022	0/132	0/090	0/095	0/124
<b>Cr</b>	0/003	0	0/003	0/001	0/001	0/004	0/004	0/003	0/036	0/034	0/032	0/020	0/020	0/010	0/006	0/005	0/008
<b>Ti</b>	0/011	0/014	0/009	0/003	0/004	0/005	0/015	0/022	0/002	0/002	0/002	0/003	0/001	0/010	0/007	0/015	0/005
<b>Fe<sup>2+</sup></b>	0/025	0/021	0/0459	0/032	0/044	0/037	0/025	0/024	0/031	0/030	0/037	0/069	0/061	0/053	0/068	0/182	0/160
<b>Mn</b>	0	0	0	0	0	0	0	0	0/002	0/003	0/002	0	0	0/005	0/004	0	0
<b>Mg</b>	0/983	0/988	0/992	0/986	0/993	0/985	0/978	0/985	0/920	0/939	0/920	0/937	0/938	0/966	0/907	4/717	4/756
<b>Ca</b>	0/908	0/906	0/895	0/931	0/915	0/912	0/910	0/902	0/944	0/935	0/968	0/903	0/939	0/855	0/935	1/988	1/972
<b>Na</b>	0/016	0/016	0/015	0/013	0/011	0/016	0/019	0/017	0/004	0/003	0/006	0/016	0/008	0/018	0/014	0/060	0/066
<b>K</b>	0/002	0	0	0	0	0	0	0	0/0004	0/0009	0	0	0/0004	0/0009	0	0	0/008
<b>مجموع</b>	4/02	4/02	4/01	4/01	4/00	4/01	4/02	4/02	3/99	4/00	3/99	4/00	4/00	4/04	4/02	15/06	15/07
<b>Wo</b>	45/30	45/23	44/90	46/57	46/04	45/93	45/52	45/15	49/62	48/91	50/03	46/40	47/66	42/12	46/30		
<b>En</b>	49/04	49/33	49/75	49/32	49/98	49/62	48/93	49/28	48/39	49/10	47/60	48/12	47/63	47/59	44/94		
<b>Fs</b>	4/83	4/62	4/60	3/46	3/40	3/63	4/58	4/70	1/77	1/84	2/02	4/62	4/27	9/37	8/04		
<b>Ac</b>	0/81	0/81	0/73	0/63	0/56	0/81	0/94	0/85	0/21	0/14	0/32	0/83	0/42	0/91	0/71		
<b>Mg#</b>	97/46	97/87	95/62	96/78	95/76	96/36	97/44	97/58	96/67	96/877	96/10	93/16	93/84	94/81	93/06	96/27	96/75

Note: FeO\* = FeO total; Mg# = 100\*Mg/(Mg + Fe2+).

مقایسه با کلینوپیروکسن موجود در هارزبورژیت تهی شده (نمونه DU-2-1)، مقدار  $\text{Al}_2\text{O}_3$  و  $\text{Cr}_2\text{O}_3$  بالاتر دارند (شکل ۵). آمفیبول معمولاً در مرکز رگه‌های دیوپسیدیت وجود ندارند و در کناره رگه‌ها در محل تماس با سنگ میزان همراه با ریزبلورهای الیوین، پیروکسن و سرپانتین دیده می‌شود. این آمفیبول‌ها عدد منیزیوم بالایی دارند (۹۶,۲۷-۹۶,۷۵) و ترکیب آن‌ها ترمولیت است. پلاژیوکلاز موجود در دیواره رگه‌های دیوپسیدیت غنی از کلسیم است ( $\text{An}_{98.09}$ - $\text{An}_{98.64}$ ) مقدار آنورتیت این پلاژیوکلازها با پلاژیوکلاز موجود در الیوین گابرونوریت انباشتی پوسته پایینی منطقه (نمونه g-75) با  $\text{An}_{91.32}$ - $\text{An}_{92.71}$  متفاوت است (جدول ۲). پلاژیوکلازهای موجود در رگه‌های دیوپسیدیت و هارزبورژیت میزان بیشتر به هیدروگراسولار تبدیل شده‌اند. منیزیوم و آهن موجود در هیدروگراسولار برآمده از دگرسانی پلاژیوکلاز دیوپسیدیت‌ها در مقایسه با هیدروگراسولار هارزبورژیت غنی‌شده بسیار کمتر است (جدول ۲).

مقدار  $\text{Al}_2\text{O}_3$  آن‌ها از ۰,۸۶ تا ۱,۶۴ درصد وزنی،  $\text{TiO}_2$  از ۰,۱۴ تا ۰,۵۱ درصد وزنی و  $\text{Cr}_2\text{O}_3$  از ۰,۱۵ تا ۰,۲۰ درصد وزنی تغییر می‌کند. علاوه بر این، عدد منیزیوم این دیوپسیدیت‌ها از کلینوپیروکسن موجود در الیوین گابرونوریت انباشتی پوسته پایینی (نمونه ۷۵ g) با عدد منیزیوم ۹۴,۸۱-۹۳,۰۶ و کلینوپیروکسن رگه گابرونوریت پگماتوئیدی در هارزبورژیت گوشته منطقه (نمونه P-6) با عدد منیزیوم ۹۳,۱۶-۹۳,۸۴ نیز بالاتر است. در نمودار  $\text{Mg}^{\#}$  در گستره کلینوپیروکسن  $\text{Al}_2\text{O}_3$  و  $\text{Cr}_2\text{O}_3$  دیوپسیدیت‌های گوشته [۵] قرار می‌گیرند (شکل ۵) و ترکیب عناصر اصلی این کلینوپیروکسن‌ها با ترکیب این کانی در سنگ‌های آذرین متفاوت است و خارج از گستره پیروکسن موجود در دایک‌های مافیک قطع کننده پریدوتیت‌های گوشته موجود در دایک‌های مافیک [۳۱]. این شواهد خاستگاه ماقمایی را برای تشکیل کلینوپیروکسن در دیوپسیدیت‌ها رد می‌کند. ترکیب شیمیایی لکه‌های کلینوپیروکسن موجود در هارزبورژیت غنی‌شده مشابه ترکیب این کانی در رگه‌های دیوپسیدیت است و در



شکل ۵ نمودار  $\text{Mg}^{\#}$  نسبت به  $\text{Cr}_2\text{O}_3$  (الف)،  $\text{Al}_2\text{O}_3$  (ب) و  $\text{TiO}_2$  (پ) برای کلینوپیروکسن در دیوپسیدیت‌ها، هارزبورژیت غنی‌شده، الیوین گابرونوریت پوسته پایینی، رگه گابرونوریت پگماتوئیدی در هارزبورژیت گوشته و هارزبورژیت تهی شده در منطقه مورد بررسی. ترکیب عناصر اصلی کلینوپیروکسن دیوپسیدیت‌ها و هارزبورژیت غنی‌شده با ترکیب این کانی در سنگ‌های آذرین متفاوت است و خارج از گستره پیروکسن موجود در دایک‌های مافیک قرار می‌گیرد [۳۱]. گستره دیوپسیدیت‌های گوشته برگرفته از مرجع [۵] است.

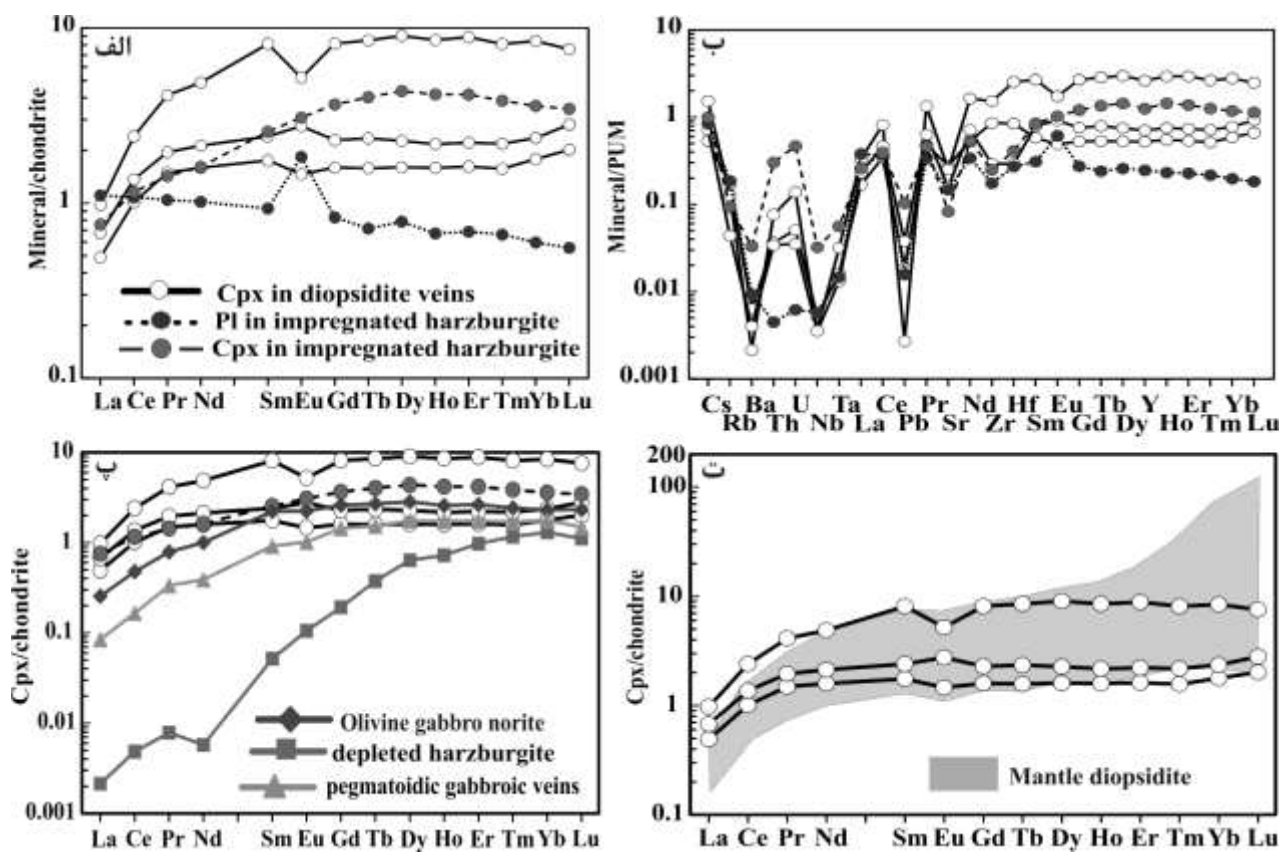
جدول ۲ نتایج تجزیه ریزپردازشی پلازیوکلаз (Pl) و هیدروگراسولار (Hgr) در سنگ‌های مورد بررسی و محاسبه اعضاًی پایانی و فرمول ساختاری آنها، به ترتیب بر پایه ۸ و ۱۲ اتم اکسیژن. IHZ: دیوپسیدیت و Ol-Ga-Nr: الیوین گابرونوریت.

سنگ‌شناسی	Di	Di	Ol-Ga-Nr	Ol-Ga-Nr	سنگ‌شناسی	Di	Di	IHZ	IHZ
کانی	Pl	Pl	Pl	Pl	کانی	Hgr	Hgr	Hgr	Hgr
شماره نمونه	P-7	P-7	g-75	g-75	شماره نمونه	P-7	P-7	P-7	P-7
شماره نقطه	4	5	1	2	شماره نقطه	9	10	24	25
SiO <sub>2</sub> (wt. %)	43/21	42/63	45/4	44/65	SiO <sub>2</sub> (wt. %)	29/68	30/75	31/13	30/43
TiO <sub>2</sub>	0/03	0/01	0/07	0	TiO <sub>2</sub>	0	0/04	0/01	0/01
Al <sub>2</sub> O <sub>3</sub>	35/81	36/29	34/64	34/74	Al <sub>2</sub> O <sub>3</sub>	21/46	21/36	18/29	21/32
Cr <sub>2</sub> O <sub>3</sub>	0	0	0	0	Cr <sub>2</sub> O <sub>3</sub>	0	0	0/04	0/03
FeO*	0/31	0/37	0/23	0/35	FeO*	1/22	1/39	9/93	5/91
MnO	0	0	0	0	MnO	0	0	0	0
MgO	0/08	0/05	0/10	0	MgO	1/25	0/83	4/77	2/24
CaO	20/17	20/58	18/26	18/87	CaO	36/87	37/63	28/2	31/75
Na <sub>2</sub> O	0/21	0/15	0/92	0/82	Na <sub>2</sub> O	0/02	0/03	0/03	0/05
K <sub>2</sub> O	0/01	0/01	0/06	0	K <sub>2</sub> O	0	0	0	0
مجموع	99/83	100/19	99/68	99/43	مجموع	90/5	92/03	92/4	91/74
Si	2/01	1/98	2/095	2/069	Si	2/540	2/587	2/609	2/563
Ti	0/001	0	0/002	0	Al <sup>IV</sup>	0/459	0/412	0/390	0/436
Al	1/966	1/991	1/886	1/898	Al <sup>VI</sup>	1/713	1/714	1/453	1/703
Fe <sup>3+</sup>	0/005	0/006	0/018	0/027	Ti	0	0/0025	0/0006	0/0006
Mn	0	0	0	0	Cr	0	0	0/002	0/001
Mg	0/004	0/003	0/007	0	Fe <sup>3+</sup>	0/087	0/097	0/480	0/263
Ca	1/006	1/026	0/903	0/937	Fe <sup>2+</sup>	0	0	0/216	0/153
Na	0/019	0/013	0/082	0/074	Mg	0/159	0/104	0/596	0/281
K	0/0005	0/0005	0/004	0	Ca	3/381	3/392	2/532	2/865
مجموع	5/012	5/025	4/998	5/005	مجموع	8/341	8/310	8/282	8/269
Ab	1/84	1/30	8/33	7/29	آندرادیت	5/15	5/67	27/62	15/39
An	98/09	98/64	91/32	92/71	گروسولار	88/56	90/30	49/39	73/52
Or	0/05	0/05	0/36	0	پیروپ	6/27	4/02	22/84	10/97

کل FeO : FeO\*

مشابهی دارد (شکل ۶ ب). این کانی‌ها در نمودار عناصر کمیاب بهنجارشده نسبت به گوشه‌های اولیه [۳۲]، بی‌هنجاری مثبت برای Nd, U و Pr و بی‌هنجاری منفی برای Sr, Ba, Nb و Ca. نسبت به عناصر مجاور نشان می‌دهند (شکل ۶ ب). کلینوپیروکسن هارزبورزیت غنی‌شده در نمودار عناصر خاکی نادر بهنجارشده نسبت به کندریت روند افزایشی از عناصر خاکی نادر سبک تا سنگین نشان می‌دهد (شکل ۶ الف) و نسبت به کلینوپیروکسن هارزبورزیت‌های معمول گوشه‌های هارزبورزیت تهی‌شده) بسیار غنی‌تر است (شکل ۶ ب). در نمودار عناصر کمیاب بهنجارشده نسبت به گوشه‌های اولیه برای این کانی، Nd و Pr نسبت به عناصر مجاور خود بی‌هنجاری مثبت دارند، در حالی که Sr, Ba, Nb, Zr و Pb بی‌هنجاری منفی نشان می‌دهند (شکل ۶ ب). پلازیوکلاز هارزبورزیت غنی‌شده در نمودار عناصر خاکی نادر بهنجارشده نسبت به کندریت روند کاهشی از عناصر خاکی نادر سبک تا سنگین دارد و بی‌هنجاری مثبت Eu نشان می‌دهد (شکل ۶ الف).

عناصر کمیاب و خاکی نادر: الگوی عناصر خاکی نادر بهنجارشده نسبت به کندریت [۳۲] برای کلینوپیروکسن دیوپسیدیت‌ها تهی شدگی از عناصر خاکی نادر سبک و افزایش یکنواخت از La تا Sm نشان می‌دهد. آن‌ها الگوی صاف تا کمی متغیر از Gd تا Lu دارند. افزون بر این، کلینوپیروکسن در رگه‌های دربردارنده پلازیوکلاز (P-7-1 و P-7-4) بی‌هنجاری منفی Eu و در رگه‌های بدون پلازیوکلاز (P-7-1) بی‌هنجاری مثبت Eu نشان می‌دهد (شکل ۶ الف). با این وجود، مقدار عناصر خاکی نادر در کلینوپیروکسن‌های درون P-1 و P-7-3 ترکیب کلینوپیروکسن در رگه‌های دیوپسیدیت موردن بررسی در گستره دیوپسیدیت‌های گوشه‌های [۸] قرار می‌گیرد کندریت در گستره دیوپسیدیت‌های گوشه‌های (شکل ۶ ت) و نسبت به کلینوپیروکسن رگه‌های گابرونوریت پگماتوئیدی در هارزبورزیت گوشه و الیوین گابرونوریت انباشت سنگ پوسته پایینی از عناصر خاکی نادر سبک غنی‌تر است، در حالی که مقدار عناصر خاکی نادر متوسط و سنگین بیشتر یا



شکل ۶ (الف) نمودار عناصر خاکی نادر بهنچارشده به کندریت [۳۲] برای کلینوپیروکسن دیوپسیدیت‌ها و کلینوپیروکسن و پلازیوکلاز هارزبورژیت غنی شده. (ب) نمودار عناصر کمیاب بهنچارشده نسبت به گوشته اولیه (PUM) [۳۲] برای کلینوپیروکسن دیوپسیدیت‌ها و کلینوپیروکسن و پلازیوکلاز هارزبورژیت غنی شده. (پ) مقایسه ترکیب کلینوپیروکسن دیوپسیدیت‌ها و هارزبورژیت غنی شده با کلینوپیروکسن در الیون گابریونوریت پوسته پایینی، رگه گابریونوریت پگماتوئیدی در هارزبورژیت گوشته و هارزبورژیت تهی شده. (ت) نمودار عناصر خاکی نادر بهنچارشده به کندریت [۳۲] برای کلینوپیروکسن دیوپسیدیت‌های مورد بررسی در مقایسه با دیوپسیدیت‌های گوشته [۸].

که ترکیب شیمیایی آن به عضو پایانی کلسیم دار نزدیک است (دارای تقریباً ۹۸ درصد آنورتیت) که با ترکیب پلازیوکلاز در سنگ‌های آذرین متفاوت است [۵]. ویژگی‌های بافتی شامل بافت الیافی، وجود دیوپسیدیت‌های ریز در زمینه سرپانتین و تغییرات در اندازه بلورها به هسته بندی و تبلور سریع اشاره دارد. این شرایط بافتی همراه با ناهمگنی‌های شیمیایی مشاهده شده در ترکیب کلینوپیروکسن‌ها نشان دهنده شرایط عدم تعادل هنگام تشکیل دیوپسیدیت‌هاست. ویژگی‌های شیمیایی غیرماگمایی کانی‌ها، مشخصه‌های بافتی و نمودهای صحرایی پیشنهاد می‌کند که رگه‌های دیوپسیدیت به احتمال زیاد نتیجه فعالیت دگرنهادی ناشی از گرم شدن مجدد سنگ میزان در حضور سیال‌ها هستند.

### بحث و بررسی

ترکیب کلینوپیروکسن‌ها در دیوپسیدیت‌های گوشته مورد بررسی به عضو پایانی منیزیوم‌دار نزدیک است (دارای عدد منیزیوم بیش از ۹۵ درصد)، در حالی که مقدار آلمینیوم، سدیم، تیتان و بهویژه کروم آن‌ها بسیار پایین است. ترکیب عناصر اصلی این کلینوپیروکسن‌ها مشابه کلینوپیروکسن دیوپسیدیت‌های گوشته [۵] بوده و با ترکیب این کانی در سنگ‌های آذرین متفاوت است (شکل ۵). این کلینوپیروکسن‌ها همچنین بی‌هنچاری مثبت یا منفی در Eu نشان می‌دهند و تغییر ترکیب کلینوپیروکسن از یک نمونه نسبت به نمونه دیگر و حتی در یک مقطع میکروسکوپی (بهویژه در مورد عناصر خاکی نادر و کمیاب) دیده می‌شود (جدول ۳). کناره بعضی از رگه‌های دیوپسیدیت شامل آنورتیت به عنوان کانی اصلی است

جدول ۳ نتایج تجزیه LA-ICP-MS کلینوپیروکسن (Cpx) و پلازبیوکلار (Pl) در سنگ‌های مورد مطالعه. iHz: هارزبورژیت غنی‌شده، Di: دیوپسیدیت، Pg-vein: رگه گابرونوریت پگماتوئیدی، DHZ: هارزبورژیت تمی‌شده، Ol-Ga-Nr: الیوین گابرونوریت.

سنگ‌شناسی کانی	iHz Pl	iHz Cpx	Di Cpx	Di Cpx	Di Cpx	Pg-vein Cpx	DHZ Cpx	Ol-Ga-Nr Cpx
شماره نمونه	P-7	P-7	P-7	P-7	P-7	P6-1	DU2-1	g-75
شماره نقطه	2	5	1	3	4	1	1	2
<b>Li (ppm)</b>	0/2200	0/7000	0/2210	0/3360	0/3150	2/5300	3/5800	0/6870
<b>Sc</b>	0/7900	27/900	0/8400	7/3000	1/4000	27/480	24/120	41/800
<b>Cs</b>	0/0270	0/0320	0/0170	0/0490	0/0230	1/4000	0/0190	0/0020
<b>Rb</b>	0/1180	0/0590	0/1080	0/0800	0/0280	1/4000	0/0380	0/0170
<b>Ba</b>	0/0650	0/2300	0/0440	0/0150	0/0280	0/1800	0/0390	0/0680
<b>Th</b>	0/0004	0/0257	0/0031	0/0065	0/0030	0/0034	0/0044	0/0017
<b>U</b>	0/0001	0/0098	0/0010	0/0030	0/0007	0/0008	0/0002	0/0003
<b>Nb</b>	0/0041	0/0230	0/0037	0/0026	0/0025	0/0015	0/0036	0/0044
<b>Ta</b>	0/0006	0/0023	0/0007	0/0013	0/0005	0/0005	0/0005	0/0007
<b>La</b>	0/2600	0/1770	0/1152	0/2290	0/1581	0/0200	0/0005	0/0600
<b>Ce</b>	0/6500	0/7000	0/6100	1/4500	0/8250	0/1000	0/0030	0/2880
<b>Pb</b>	0/0030	0/0190	0/0035	0/0005	0/0070	0/0230	0/0270	0/0162
<b>Pr</b>	0/0930	0/1270	0/1330	0/3680	0/1740	0/0300	0/0007	0/0704
<b>Sr</b>	3/1000	1/7410	5/8600	5/3000	3/2910	2/0300	0/1270	4/3500
<b>Nd</b>	0/4600	0/7300	0/7200	2/2100	0/9640	0/1760	0/0026	0/4540
<b>Zr</b>	1/9600	2/8000	9/6000	17/100	3/2600	0/5670	0/0120	1/6800
<b>Hf</b>	0/0840	0/1270	0/2600	0/7830	0/0900	0/0360	0/0080	0/0790
<b>Sm</b>	0/1370	0/3760	0/2580	1/1940	0/3540	0/1350	0/0076	0/3272
<b>Eu</b>	0/1030	0/1725	0/0820	0/2910	0/1542	0/0570	0/0090	0/1250
<b>Gd</b>	0/1630	0/7190	0/3140	1/6000	0/4500	0/2830	0/0380	0/5120
<b>Tb</b>	0/0260	0/1461	0/0574	0/3090	0/0851	0/0560	0/01360	0/0980
<b>Dy</b>	0/1900	1/0590	0/3890	2/1900	0/5510	0/4240	0/1550	0/6900
<b>Y</b>	1/1200	5/7020	2/3800	11/970	3/2100	2/1500	1/0460	3/6900
<b>Ho</b>	0/0380	0/2364	0/0900	0/4830	0/1230	0/0980	0/0411	0/1460
<b>Er</b>	0/1090	0/6620	0/2570	1/4100	0/3520	0/2770	0/1550	0/4200
<b>Tm</b>	0/0160	0/0931	0/0380	0/1960	0/0528	0/0410	0/0282	0/0584
<b>Yb</b>	0/0970	0/5830	0/2900	1/3700	0/3830	0/2900	0/2110	0/3740
<b>Lu</b>	0/0135	0/0840	0/0490	0/1840	0/0683	0/0360	0/0270	0/0564
<b>Eu/Eu*</b>	2/0900	1/0100	0/8700	0/6400	1/1700	0/8800	1/0600	0/9300
<b>(La/Sm)<sub>N</sub></b>	0/2799	0/2950	0/2798	0/1202	0/2799	0/0919	0/0412	0/1149
<b>(La/Yb)<sub>N</sub></b>	0/2858	0/2102	0/2750	0/1157	0/2858	0/0473	0/0016	0/1110
<b>(Gd/Yb)<sub>N</sub></b>	0/9711	1/0193	0/8949	0/9653	0/9711	0/8066	0/1484	1/1315

و همچنین فراوانی مودال آنورتیت به عنوان یک کانی غنی از کلسیم در بعضی از رگه‌های دیوپسیدیت و پریدوتیت میزان پیشنهاد می‌کند که این سیال‌ها غنی از کربنات، کلرید و سولفات بوده‌اند و پیش از رسیدن به گوشه با سنگ‌های غنی از پلازیوکلاز (گابروهای پوسته پایینی) واکنش داده‌اند. بالا بودن عدد منیزیوم دیوپسیدها نشان دهنده واکنش سیال‌ها با پریدوتیتها و سهم پریدوتیتها در تشکیل دیوپسیدیت‌هاست. در منطقه مورد بررسی، هارزبورژیت میزان نیز تا حدی دستخوش فرایند دیوپسیدی شدن شده است. وجود لکه‌های کلینوپیروکسن با میانبارهای سرپانتین در هارزبورژیت میزان پیشنهاد می‌کند که دیوپسید به طور جزئی جایگزین سرپانتین برآمده از دگرسانی الیوین شده است. این دیوپسید غنی از عناصر خاکی نادر است و در نمودار عناصر کمیاب بهنجار شده نسبت به گوشه اولیه الگویی مشابه کلینوپیروکسن دیوپسیدیت‌ها دارد (شکل ۶ ب).

خاستگاه سیال‌های گرمابی شرکت کننده در تشکیل دیوپسیدیت‌ها و هورنبلنیدیت‌های گوشه و وابسته بودن آن‌ها به خاستگاه ماقمایی یا آب دریا مورد بحث قرار گرفته است [۶، ۸، ۱۰]. بررسی‌های اخیر بر ترکیب کانی‌های هورنبلنیدیت‌های گوشه در افیولیت نائین و حضور ۹۴ درصد حجمی کانی‌های آبدار اولیه، مشارکت سیالی با طبیعت آبدار را در تشکیل این سنگ‌ها پیشنهاد می‌کند [۱۰]. افزون بر این، بررسی ترکیب میانبارهای سیال در کانی‌های سازنده دیوپسیدیت‌های گوشه و پوسته در افیولیت عمان [۳۵] نشان می‌دهد که سیال حبس شده در این کانی‌ها طبیعت آبدار دارد و دارای مقدار قابل توجهی سدیم و ریزلولورهایی از کلسیت و آنهیدریت است. بر اساس این بررسی‌ها یک خاستگاه وابسته به آب دریا برای این سیال‌های گرمابی محتمل‌تر به نظر می‌رسد. در اثر نفوذ آب دریا به سمت پایین گرم شده و در دمای حدود ۴۰۰ درجه سانتیگراد (کمتر از دمای بحرانی آب) شناور شده و به طرف بالا بر می‌گردد [۳۶]. این بدین معنی است که آب دریا فقط می‌تواند تا عمق کمتر از منطقه عدسی‌های مذاب در محور پشت‌های میان اقیانوسی نفوذ کند. اما ورود سیال‌های گرمابی ناشی از آب دریا به منطقه حضور عدسی‌های مذاب در محل محور پشت‌های میان اقیانوسی باعث بالا رفتن دمای آن‌ها در گستره بالاتر از نقطه بحرانی آب می‌شود [۳۵]. این سیال ابر بحرانی دما بالا (دمای حدود ۸۰۰ درجه سانتیگراد) قابلیت

بر اساس یافته‌های پیتون و همکاران [۵] دیوپسیدیت‌های گوشه نشان دهنده ردپای گردش سیال‌های گرمابی دما بالا و غنی از کلسیم، کربنات و احتمالاً سیلیس در گوشه بالایی هستند که پیش از نفوذ به گوشه، واحدهای سنگی غنی از پلازیوکلاز را شسته‌اند (بوسیله بیهنجاری مثبت Eu تأیید می‌شود). کلینوپیروکسن هارزبورژیت معمول گوشه در منطقه مورد بررسی از عناصر خاکی نادر بسیار تهی شده است، در حالی که کلینوپیروکسن‌های رگه‌های دیوپسیدیت و هارزبورژیت غنی‌شده نسبتاً غنی از عناصر خاکی نادر هستند. آن‌ها همچنین نسبت به کلینوپیروکسن رگه‌های گابرونوریت پigmاتوئیدی در هارزبورژیت گوشه و الیوین گابرونوریت پوسته پایینی از عناصر خاکی نادر غنی‌تر هستند (شکل ۶ پ)؛ بهویژه یکی از نمونه‌ها (P-7-3) نسبت به سایرین از عناصر خاکی نادر غنی‌تر است (جدول ۳). این نشان دهنده جایجایی عناصر خاکی نادر بوسیله سیال‌های گرمابی دما بالاست، که این توسط دیگران نیز تأیید شده است [۳۳]. سیال‌های گرمابی دما بالا و غنی از یون‌های کلرید ( $\text{Cl}^-$ )، کربنات ( $\text{CO}_3^{2-}$ ) و سولفات ( $\text{SO}_4^{2-}$ ) می‌توانند عناصر خاکی نادر (بویژه عناصر خاکی نادر سنگین) را با تشکیل همبافت انتقال دهنند [۸].

معمولًا می‌توان بر پایه مجموعه کانی‌ها در سنگ‌های دگرگونی دمای دگرگونی را تعیین کرد. تغییر مجموعه کانی‌ها در مرکز و کناره رگه‌های دیوپسیدیت نشان دهنده تغییر گسترده شرایط است. مجموعه ترمولیت-دیوپسید-سرپانتین در کناره بعضی از رگه‌ها نشان می‌دهد که دما ۶۰۰-۵۵۰ درجه سانتیگراد بوده است [۳۴]، در حالی که رگه‌هایی که بیشتر در مرکز از دیوپسید و در کناره از دیوپسید و آنورتیت تشکیل شده‌اند به ترتیب دمایهای بالاتر از ۸۰۰ و ۹۰۰ درجه سانتیگراد را مشخص می‌کنند [۵]. مجموعه کانی‌ها دیوپسیدیت‌های مورد بررسی تأیید می‌کند که آن‌ها در اثر واکنش سیال‌های گرمابی با پریدوتیت‌های میزان (هارزبورژیت) در دمای ۵۵۰-۶۰۰ درجه سانتیگراد تشکیل شده‌اند. مجموعه کانی‌ها، روابط صحرایی و ترکیب عناصر اصلی کانی‌های دیوپسیدیت‌های گوشه در بخش شرقی افیولیت سیزوار نشان می‌دهد که آن‌ها از رسوب سیال‌های گرمابی دما بالای غنی از سیلیس، منیزیوم و کلسیم تشکیل شده‌اند. غنی‌شدگی عناصر خاکی نادر در کلینوپیروکسن‌های دیوپسیدیت و هارزبورژیت غنی شده، بیهنجاری مثبت Eu در بعضی از آن‌ها، وجود رگه‌های کربنات

گوشه بالایی هستند. بی‌هنجاری مثبت Eu در بعضی از دیوپسیدها و همچنین فراوانی مodal آنوریت به عنوان یک کانی غنی از کلسیم در بعضی از رگه‌های دیوپسیدیت و پریدوتیت میزبان پیشنهاد می‌کند که این سیال‌ها پیش از رسیدن به گوشه با سنگ‌های غنی از پلاژیوکلаз (گابروهای پوسته پایینی) واکنش داده‌اند. عدد منیزیوم بالا در دیوپسیدها نشان دهنده واکنش سیال‌ها با پریدوتیت‌ها و سهم پریدوتیت‌ها در تشکیل دیوپسیدیت‌هاست. وجود لکه‌های کلینوپیروکسن با میانبارهای سرپانتین در هارزبورزیت میزبان پیشنهاد می‌کند که دیوپسید به طور جزئی جایگزین سرپانتین برآمده از دگرسانی الیوین شده است.

#### قدرتانی

نویسندهان مقاله، از حمایت‌های دانشگاه اصفهان در انجام این پژوهش تشکر و قدردانی می‌کنند. همچنین از همکاری ارزنده پروفسور کارلوس گریدو از انجمن علوم زمین آندازویا (دانشگاه گرانادا، اسپانیا) در زمینه انجام بخشی از تجزیه‌های این پژوهش سپاسگزاری می‌شود.

#### مراجع

- [1] Crane K., Aikman F., Foucher J.P., "The distribution of geothermal fields along the East Pacific Rise from 13°10' N to 8°20' N: implications for deep seated origins", *Marine Geophysical Research* 9 (1988) 211–236.
- [2] Fouquet Y., Auclair G., Cambon P., Etoubleau J., "Geological setting and mineralogical and geochemical investigations on sulfide deposits near 13° N on the East Pacific Rise", *Marine Geology* 84 (1988) 145–178.
- [3] Nehlig P., Juteau T., "Deep crustal seawater penetration and circulation at ocean ridges: evidence from the Oman Ophiolite", *Marine Geology* 84 (1988) 209–228.
- [4] Vanko D.A., Laverne C., "Hydrothermal anorthitization of plagioclase within the magmatic/hydrothermal transition at mid-ocean ridges: examples from deep sheeted dikes (Hole 504B, Costa Rica Rift) and a sheeted dike root zone (Oman ophiolite)", *Earth and Planetary Science Letters* 162 (1998) 27–43.
- [5] Python M., Ceuleneer G., Ishida Y., Barrat J.A., Arai S., "Oman diopsidites: A new lithology diagnostic of very high temperature hydrothermal circulation in mantle peridotite below oceanic spreading centres", *Earth and Planetary Science Letters* 255 (2007) 289–305.

نفوذ به بخش پایینی پوسته و گوشه بالایی را دارد [۱۰]. این نشان دهنده تشکیل دیوپسیدیت‌های گوشه در نزدیکی محور پشتنهای میان اقیانوسی و همزمان با فعالیت ماقمایی است [۳۵]. واکنش این سیال‌های گرمابی دما بالا با سنگ‌های مسیر باعث انحلال مقادیر قابل توجهی از ترکیبات سیلیکاتی و انتقال عناصر لازم برای تشکیل دیوپسیدیت‌ها به گوشه بالایی می‌شود. گردش سیال‌های گرمابی دما بالا در شکستگی‌ها و درزهای پیشین موجود در پریدوتیت‌های گوشه باعث تشکیل دیوپسیدیت‌ها در این شکستگی‌ها شده است. این درزها احتمالاً توسط فرابیندهای زمین‌ساختی یا افزایش حجم ۱۵ درصدی ناشی از واکنش‌های سرپانتینی شدن در پریدوتیت‌های گوشه ایجاد شده‌اند [۱۰]. البته این افزایش حجم همچنین باعث محدود شدن سیال‌ها و جلوگیری از پخش شدن آن‌ها در فواصل دورتر می‌شود. احتمالاً این دلیل اندک بودن دیوپسیدیت‌ها در مجموعه‌های افیولیتی و منحصر بودن آن‌ها تنها به بالاترین بخش گوشه بالایی است [۵].

#### برداشت

در بخش شرقی افیولیت سبزوار رگه‌هایی از دیوپسیدیت در هارزبورزیت‌های سرپانتینی شده گوشه وجود دارد. ترکیب کلینوپیروکسن و پلاژیوکلاز موجود در رگه‌های دیوپسیدیت و هارزبورزیت میزبان در منطقه مورد بررسی خارج از گستره سنگ‌های مافیک و فرامافیک آذرین قرار می‌گیرند. این کلینوپیروکسن‌ها همچنین نسبت به کلینوپیروکسن هارزبورزیت معمول گوشه و سنگ‌های مافیک گوشه و پوسته پایینی از عناصر خاکی نادر غنی‌تر هستند و در نمودار عناصر خاکی نادر بهنگارشده نسبت به کندریت در گستره دیوپسیدیت‌های گوشه قرار می‌گیرند که ناشی از گردش سیالات گرمابی دما بالا در گوشه بالایی در نظر گرفته شده‌اند. سیال‌های گرمابی دما بالا و غنی از یون کلرید، کربنات و سولفات می‌توانند عناصر خاکی نادر (بهویژه عناصر خاکی نادر سنگین) را با تشکیل همبافت انتقال دهند. مجموعه کانی‌ها، روابط صحرایی، ترکیب عناصر اصلی کانی‌های دیوپسیدیت‌های گوشه، وجود رگه‌های کربنات و غنی شدگی عناصر خاکی نادر در دیوپسیدهای دیوپسیدیت و هارزبورزیت غنی شده در بخش شرقی افیولیت سبزوار نشان می‌دهد که آن‌ها نتیجه گردش سیال‌های گرمابی دما بالای (۹۰۰–۵۵۰ درجه سانتیگراد) غنی از سیلیس، منیزیوم، کلسیم، کربنات، سولفات و کلرید در

- [16] Förster H., "Mesozoic–Cenozoic metallogenesis in Iran", Journal of Geological Society London 135 (1984) 443–455.
- [17] Sengor A.M.C., "A new model for the late Paleozoic–Mesozoic tectonic evolution of Iran and implications for Oman", In: Robertson A.H.F., Searle M.P., Ries A.C., (Eds.), The Geology and Tectonics of the Oman Region, Geological Society of London, Special Publication 49 (1990) 797–831.
- [18] Soffel H.C., Förster H.G., "Polar wander path of the Central-East- Iran Microplate including new results", Neues Jahrbuch Fur Mineralogie Montshefte 168 (1984) 165–172.
- [19] Shirdashtzadeh N., "Petrology of pillow lavas and amphibolites; and metamorphism in mantle peridotites of Nain and Ashin ophiolites", PhD Thesis, University of Isfahan (2014) 378p (In Persian).
- [20] Nasrabady M., "Petrology of metamorphic rocks of ophiolitic belt from northern Sabzevar", PhD Thesis, Tarbiat Moallem University (2009) 244p (In Persian).
- [21] Bagheri S., Stampfli G.M., "The Anarak, Jandaq and Posht-e-Badam metamorphic complex in Central Iran: New geological data, relationships and tectonic implications", Tectonophysics 451 (2008) 123–155.
- [22] Fotoohi Rad G.R., Droop G.T.R., Burges, R., "Early Cretaceous exhumation of high-pressure metamorphic rocks of the Sistan Suture Zone, Eastern Iran", Geological Journal 44 (2009) 104–116.
- [23] Shafaii Moghadam H., Whitechurch H., Rahgoshay M., Monsef I., "Significance of Nain-Baft ophiolitic belt (Iran): Short-lived, transtensional Cretaceous back-arc oceanic basins over the Tethyan subduction zone", Comptes Rendus Geoscience 49 (2009) 261–270.
- [24] Shojaat B., Hassanipak A.A., Mobasher K., Ghazi A.M., "Petrology, geochemistry and tectonics of the Sabzevar ophiolite, North Central Iran", Journal of Asian Earth Sciences 21 (2003) 1053–1067.
- [25] Stampfli G.M. Borel G.D., "A plate tectonic model for the Paleozoic and Mesozoic constrained by dynamic plate boundaries and restored synthetic oceanic isochrones", Earth and Planetary Science Letters 196 (2002) 17–33.
- [26] Shafaii Moghadam H., Corfu F., Chiaradia M., Stern R.J., Ghorbani G., "Sabzevar Ophiolite, NE Iran: Progress from embryonic oceanic lithosphere into magmatic arc constrained by new [6] Python M., Yoshikawa M., Shibata T., Arai S., "Diopsidites and rodingites: Serpentinitisation and Ca-Metasomatism in the Oman ophiolite mantle", In Srivastava, R. K., (Ed.), Dyke Swarms: Keys for Geodynamic Interpretation, Springer, Berlin, Heidelberg (2011) 401–435.
- [7] Akizawa N., Arai S., Tamura A., Uesugi J., Python M., "Crustal diopsidites from the northern Oman ophiolite: Evidence for hydrothermal circulation through suboceanic Moho", Journal of Mineralogical and Petrological Sciences 106 (2011) 261–266.
- [8] Akizawa N., Arai S., "Petrology of mantle diopsidite from Wadi Fizh, northern Oman ophiolite: Cr and REE mobility by hydrothermal solution", Island Arc 23 (2014) 312–323.
- [9] Arai S., Akizawa N., "Precipitation and dissolution of chromite by hydrothermal solutions in the Oman ophiolite: new behavior of Cr and chromite", American Mineralogist 99 (2014) 28–34.
- [10] Torabi G., Arai S., Morishita T., Tamura A., "Mantle hornblendites of Naein ophiolite (Central Iran): Evidence of deep high temperature hydrothermal metasomatism in an upper mantle section", Petrology 25, 1 (2017) 114–137.
- [11] McCollom T.M., Shock E.L., "Fluid–rock interactions in the lower oceanic crust: thermodynamic models of hydrothermal alteration", Journal of Geophysical Research 103, B1 (1998) 547–575.
- [12] Droop G.T., "A general equation for estimating  $Fe^{3+}$  concentrations in ferromagnesian silicates and oxides from microprobe analyses, Using stoichiometric criteria", Mineralogical Magazine 51 (1987) 431–435.
- [13] Whitney D.L., Evans B.W., "Abbreviations for names of rock-forming minerals", American Mineralogist 95 (2010) 185–187.
- [14] Govindaraju K., "Compilation of working values and sample description for 383 geostandards", Geostandards Newsletter XVIII, Special Issue (1994) 1–158.
- [15] Lensch G., "Major element geochemistry of the ophiolites in northeastern Iran", In: Panayotou A., (Ed.), Ophiolites: Proceedings of the International ophiolite Symposium Cyprus, Nicosia, Cyprus, Geological Survey Department (1980) 398–401.

Magmatism in the Ocean Basins, Geological Society of London, Special Publications 42 (1989) 313-345.

[33] Liefink D. J., Nijland T. G., Maijer, C., "The behavior of rare-earth elements in high-temperature Cl-bearing aqueous fluids: Results from the Ødegårdens verk natural laboratory", Canadian Mineralogist 32 (1994) 149–58.

[34] Trommsdorff V., Connolly J.A.D., "Constraints on phase diagram topology for the system CaO-MgO-SiO-CO-HO", Contributions to Mineralogy and Petrology 104 (1990) 1–7.

[35] Akizawa N., Tamura A., Fukushi K., Yamamoto J., Mizukami T., Python M., Arai S., "High-temperature hydrothermal activities around suboceanic Moho: An example from diopsidite and anorthosite in Wadi Fizh, Oman ophiolite", Lithos (2016).

<http://dx.doi.org/10.1016/j.lithos.2016.07.012>

[36] German C.R., Lin J., "The thermal structure of the oceanic crust, ridge-spreading and hydrothermal circulation: How well do we understand their inter-connections", In: German C.R., Lin J., Parson L.M. (Eds.), Mid-ocean ridge: Hydrothermal interactions between the lithosphere and oceans, Geophysical Monograph Series 148, American Geophysical Union, Washington DC, USA (2004) 1–18.

*isotopic and geochemical data", Lithos 210–211 (2014) 224–241.*

[27] Shafaii Moghadam H., Corfu F., Stern R.J., "U-Pb zircon ages of Late Cretaceous Nain-Dehshir ophiolites, central Iran", Journal of the Geological Society 170 (2013) 175-184.

[28] Shafaii Moghadam H., Zaki Khedr M., Arai S., Stern R.J., Ghorbani G., Tamura A., Ottley C.J., "Arc-related harzburgite-dunite-chromitite complexes in the mantle section of the Sabzevar ophiolite, Iran: A model for formation of podiform chromitites", Gondwana Research 27 (2015) 575-593.

[29] Majidi J., "Sabzevar 1:100,000 Geological Map and Report", Geological Survey and Mining Exploration of Iran (1999).

[30] Behroodi A., Omrauni G., "Forumad 1:100,000 Geological Map", Geological Survey and Mining Exploration of Iran (1999).

[31] Python M., Ceuleneer G., "Nature and distribution of dykes and related melt migration structures in the mantle section of the Oman ophiolite", Geochemistry Geophysics Geosystem 4, 7 (2003) 8612.

[32] Sun S.S., McDonough W.F., "Chemical and isotopic systematics of oceanic basalts: implications for mantle composition and processes", In: Saunders A.D., Norry M.J. (Eds.),